

تحضير أربع بُنى مأشوبة باستعمال حامل pLEXSY والجين المُرمزة لعامل النمو الشبيه IGF-I بالأنسولين من النمط الأول

فراس باسل سقا أميني^{1*}، شادي الياس سكريبة²

¹ طالب ماجستير، قسم علم الحياة الحيوانية، جامعة دمشق

feras.skkaameny@damascusuniversity.edu.sy

² أستاذ مساعد في قسم علم الحياة الحيوانية، جامعة دمشق – الاختصاص الدقيق: علم الجنين الجزيئي
chadi.soukkarieh@damascusuniversity.edu.sy

الملخص:

يضبط عامل النمو الشبيه بالأنسولين من النمط الأول **IGF1**، وهو بروتين صغير ينتجه الكبد، حادثات خلوية عديدة تضمن النمو الصحيح لأعضاء الجسم وللجسم بشكل عام. تتعدد الأعراض الناتجة عن عوز هذا البروتين بدءاً من اضطرابات النمو حتى القزمة. وتعالج جميع هذه الأعراض معالجة معاوضة عن طريق اعطاء المرضى للشكل المأشوب من **IGF1** والذي ينتج عادة باستعمال البكتيريا. رغم الاستعمال الواسع لأنظمة الإنتاج البروتينية المعتمدة على البكتيريا إلى أن لها العديد من المساوئ. يتغلب نظام جديد لإنتاج البروتينات المأشوبة على معظم هذه المساوئ وهو نظام **LEXSY** الذي يعتمد على استعمال الليشمانيا بدل البكتيريا لإنتاج البروتينات. تتميز الليشمانيا بإنتاج بروتينات بأشكالها المماثلة للأشكال الطبيعية من خلال قدرتها على الطي الصحيح للبروتين وعلى إنجازها لتعديلاته بعد الترجمة. تم في هذا العمل استعمال الحامل **pLEXSY** لتسليل الجين المُرمزة لـ **IGF1** البشري بشكليين إما وحده أو مدمجاً مع البروتين المتألق الأخضر **GFP**، وبطريقتين تضمن الأولى إنتاجه ضمن الخلايا بينما تضمن الثانية إفرازه إلى وسط الزرع. تعد هذه هي المرة الأولى التي تنتج فيها هذه البنى بهدف إنتاج البروتين بشكل مؤشب في نظام جديد يتجاوز صعوبات إنتاجه في البكتيريا.

تاریخ الإيداع: 2023/12/12
تاریخ الموافقة: 2024/01/21



حقوق النشر: جامعة دمشق – سوريا، يحتفظ المؤلفون بحقوق النشر بموجب الترخيص CC BY-NC-SA 04

الكلمات المفتاحية: حامل **IGF-I**, البروتين المتألق الأخضر, التسليل, الليشمانيا, أنزيمات التقيد

Preparation of four recombinant constructions using pLEXSY vector and Insulin-like Growth Factor I gene

Feras Basel Skka Ameny¹, Chadi Elias Soukkarieh²

¹Master's Student, Department of Animal Biology, Faculty of Sciences, Damascus University, Syria.

feras.skkaameny@damascusuniversity.edu.sy

²Assistant Professor, Department of Animal Biology, Faculty of Sciences, Damascus University, Syria. Specialty: Developmental Biology

chadi.soukkarieh@damascusuniversity.edu.sy

Abstract:

Insulin-like growth factor IGF1, a small protein produced by the liver, regulates many cellular events that ensure the correct growth of the body's organs and the body in general. Symptoms resulting from a deficiency of this protein vary from growth disorders to dwarfism. All of these symptoms are treated with replacement therapy by giving patients a recombinant form of IGF1, which is usually produced using bacteria. Despite the widespread use of bacterial-based protein production systems, they have several disadvantages. A new system for producing recombinant proteins overcomes most of these disadvantages. It is the LEXSY system, which relies on using Leishmania instead of bacteria to produce proteins. Leishmania is characterized by producing proteins in shapes similar to natural ones through its ability to properly fold the protein and to carry out post-translational modifications. In this work, the pLEXSY vector was used to clone the gene encoding human IGF1 in two forms, either alone or combined with the green fluorescent protein GFP, and in two ways, the first of which ensures its production within cells while the second ensures its secretion into the culture medium. This is the first time that these structures have been produced with the aim of recombinant protein production in a new system that overcomes the difficulties of producing it in bacteria.

Received :2023/12/12

Accepted:2024/01/21



Copyright: Damascus University- Syria, The authors retain the copyright under a CC BY- NC-SA

Key words: pLEXSY vector, IGF-I, GFP, cloning, Leishmania, Restriction enzymes

1. المقدمة:

ينتج عامل النمو الشبيه بالأنسولين من النمط الأول **IGF1** (**Insulin-like Growth Factor I**) من قبل خلايا الكبد تحت تأثير هرمون النمو **Growth Hormone (GH)**، وهو بروتين صغير الكتلة الجزيئية النسبية يتميز بوجود ثلاث روابط كبريتية تساعده في الحفاظ على بنيته الفراغية. يحفز **IGF1** نمو الجسم بشكل عام **Systemic body growth** من خلال أثره المحرض للنمو-**Growth-promoting effect** على جميع خلايا الجسم تقريباً، والذي يمارسه عن طريق ارتباطه بمستقبله النوعي (أو ما يعرف بالـ **IGF1-R**). ينظم **IGF1** استقلاب كلاً من الكربوهيدرات، عن طريق أثره المشابه للأنسولين **Insulin-like Receptor** واختصاراً **Zapf and effect**، والدسم والبروتينات ويشترك بهذا الأثر في كثير من الأحيان مع هرمونات أخرى كهرمون النمو والأنسولين (**Froesch, 1986**).

تؤدي حالات نقص تراكيز **IGF1** عن التراكيز الطبيعية إلى حدوث أمراض عدّة، فمثلاً يؤدي عوز **IGF1** الأولى الحاد **Severe primary IGF1 deficiency** إلى خلل واضح في نمو الجسم وأعضاءه بشكل عام، قد يصل الخلل إلى فشل النمو **Laron syndrome** وحدوث أنماط مختلفة من القرامة. يمكن لـ **IGFD** أن ينتج عن حالة مرضية تُعرف بمتلازمة لارون **Growth failure**، وتعود جميع أعراض هذه المتلازمة إلى انخفاض مستوى **IGF1** في مصل الأفراد المصابين بها عن مستوى الطبيعي نتيجة عدد من الطفرات التي تصيب الجين المُرمزة لمستقبل هرمون النمو، وتُوصف هذه الحالة بعدم الحساسية لهرمون النمو **Growth hormone insensitivity**. كما يمكن لـ **IGFD** أن ينتج عن حالة مرضية مشابهة بأعراضها لمتلازمة لارون تتمثل أيضاً بانخفاض إنتاج **IGF1** من قبل خلايا الكبد ولكن بنتيجة عوز هرمون النمو نفسه. تعالج جميع حالات **IGFD** معالجة معاوضة بإعطاء من مصدر خارجي. كما أشارت الدراسات إلى أن **IGF1** على علاقة بالعديد من الأمراض مثل التصلب اللويحي، وإلى أنه يمكن التخفيف من أعراض هذه الأمراض الخطيرة عن طريق إعطاء المرضى جرعات من **IGF1** (**Carel et al., 1996; Chesik et al., 2007**). يستعمل في علاج أنماط **IGFD** وفي علاج بعض الأمراض الأخرى الدواء الحيوي الذي يُعرف باسم **Mecasermin** ويُسوق تحت اسم تجاري يعرف بالـ **Increlex**، وهو شكل مؤشبٌ من **IGF1** البشري **Recombinant form of human IGF1**، والذي تتجه حالياً أحد أهم أنظمة إنتاج البروتينات المؤشبة الدوائية وهي **البكتيريا (Joly et al., 1998)**.

نظراً للأهمية الطبية لهذا الهرمون فقد تمت بداية العديد من المحاولات لإنتاجه باستعمال أنظمة إنتاج مختلفة من بدائيات وحققيات النوى. وأخيراً اعتمدت خلايا البكتيريا من النوع **Escherichia coli** لإنتاجه بهدف تسويقه كدواء حيوي (**Joly et al., 1998**، وذلك على الرغم من الصعوبات العديدة التي تواجه إنتاجه ضمن هذا النظام فالرغم من الكميات الكبيرة التي يمكن الحصول عليها بالاعتماد على النكاثر السريع للبكتيريا في الأوساط السائلة **Liquid media** إلا أن الحصول على كميات كبيرة من الشكل الوظيفي الفعال لهذا الهرمون بما يزال بعيد المنال، إذ أن معظم الكميات المنتجة بهذه الطريقة تكون غير فعالة وظيفياً نتيجة الطي غير الصحيح للبروتين ونتيجة لعدم تشكيل الروابط الكبريتية الداعمة للبنية الفراغية بشكلٍ سليم (**Joly et al., 1998**). كما بينت الأبحاث أن هناك مشاكل أخرى في إنتاج هذا البروتين ضمن البكتيريا على علاقة بحجمه الصغير نتيجة كتلته الجزيئية المنخفضة وعلى علاقة بإنتاجه بشكلٍ منحل إذ أن الكم الأعظم من هذا البروتين ينتج بشكل غير منحل ضمن الأجسام الضمية مما يزيد عدد الخطوات اللازمة لتنقيتها ويرفع من كلفة إنتاجه (**Samuelsson et al., 1994**).

عملت أبحاث أخرى على إنتاجه في خلايا الثدييات بشكل خاص الخلايا البشرية من النمط **HEK293** (وهي خلايا مشتقة من كلية جنين بشري (**Carel et al., 1996; Chesik et al., 2007**) (**Human Embryonic Kidney**

الفعال بيولوجياً من الهرمون بالنسبة للكمية الكلية المنتجة من البروتين بينما كانت حصيلة الإنتاج بالمجمل منخفضة بالمقارنة مع حصيلة إنتاجه ضمن البكتيريا (Consortium, 2008).

يُعد نظام **Leishmania expression system LEXSY** واحداً من أهم وأحدث أنظمة إنتاج البروتينات ضمن خلايا حقيقيات النوى، والذي يعتمد على استعمال أحد أنواع وحيدات الخلية الحيوانية **Protozoa** من جنس الليشمانيا (*Protozoa Attarpour Yazdi et al., 2018*). يمتاز هذا النظام الجديد بجنبه لميزات إنتاج البروتينات في البكتيريا من الزراعة في وسط ملئ بالكثير من الماء والتكرار السريع والإنتاجية المرتفعة وميزات الإنتاج في الخلايا حقيقيات النوى من طي **Folding** البروتينات بالشكل الصحيح وإعطاءها بنية ثلاثية الأبعاد وظيفية، بالإضافة إلى إجراء التعديلات بعد الترجمة **Post-translational modifications** للبروتينات المنتجة بشكل مشابه لحد بعيد لخلايا الثدييات (Niimi, 2012). يستعمل حامل **pLEXSY** لتحويل الليشمانيا إذ يحوي عناصر تسمح له بإدخال الجين الهدف بالإضافة إلى إحدى واسمات الانتقاء ضمن جينوم الليشمانيا وفق مبدأ التأشيب المتماثل (*Alhrak and Soukkarieh, 2023*) **Homologous recombination**. يحوي الحامل تسلسل إشارة يجعل البروتين الناتج مفرزاً، وبحسب استراتيجية التنسيل ضمنه يمكن للبروتين الهدف أن ينتج إما بشكل داخل خلوي **intracellular** وإما بشكل مفرز **secreted** (*Luginina et al., 2023*). كما يتميز الحامل باحتوائه على تسلسل سداسي الهيستidine يدمج مع البروتين المنتج من النهاية الكربوكسيلية مما يسهل عملية تتفقيه بوساطة كرومتوغرافيا الإلغاء المعدنية باستعمال أعمدة مثبتة على طورها الساكن شوارد النيكل (*Souza et al., 2017*). تم في هذا العمل استعمال نظام **LEXSY** لتحضير أربع نسخ تحوي الجين المرمزة لـ **IGF1** البشري إما وحدها أو مدمجةً مع البروتين المتألق الأخضر **green fluorescent protein GFP** الذي يُعرف اختصاراً بالـ **GFP**. تستطيع هذه البنى إنتاج بروتينين مؤشبين بطريقتين مختلفتين: الأولى الإنتاج داخل الخلايا والثانية الإفراز إلى وسط الزرع.

2. المواد والطريق:

تضخيم تسلسل الجين المرمزة لـ **IGF1** باستعمال التفاعل السلسلي للبوليمراز (PCR):

تم تضخيم التسلسل المُرمز لجين **IGF1** البشري ابتداءً من بنية بلاسميدية هي **pRSET-IGF1** (محضرة في دراسة سابقة). استخدم أنزيم البلمرة عالي الموثوقية **PFU High fidelity DNA polymerase** الذي يتمتع بفعالية إعادة القراءة **proofreading** مما يضمن عدم ارتکابه للأخطاء، وشفع من المُرئات الأمامية **F**, **pRSET-to-Lexy-F**, والعكسية **R**, **pRSET-to-Lexy-R** الموضحة تسلسلها في (الجدول 1)، تتميز المُرئات باحتوائهما على تسلسلات لموقع تقييد تضمن إدخال الجين الهدف المضخمة ضمن حامل **pLEXY**, حيث تم استخدام المواد المذكورة في (الجدول 2) لإتمام التفاعل. تم استخدام جهاز الدور الحراري **BIOER – PCR thermocycler** وفقاً لبرنامج التضخيم الحراري الموضح في (الجدول 3). أُتبع تفاعل **PCR** بالرحلان الكهربائي التحليلي على هلامة الأغاروز للتتأكد من إيجابية التفاعل.

الجدول 1: أسماء وتسلسل المُرئات المستخدمة في تفاعل PCR والمصممة باستعمال برمجيات المعلوماتية الحيوية

مُرئات التنسيل Cloning Primers	
pRSET-to-Lexy-F	
pRSET-to-Lexy-R	

الجدول 2: المواد التي تم استعمالها في تفاعل الدا PCR

المواد Reagent مع التراكيز البدائية	الحجم	التراكيز النهائية
(بلاسميد pRSET المنسق به الجين المُرمزة للـ IGF1 البشري) DNA	2 μ l	100 ng
أنزيم بوليميراز (Thermo) Pfu DNA polymerase-HF (2.5U/ μ l)	1 μ l	2.5 U
المُرئسة الأمامية (10 μ M)	1 μ l	0.5 μ M
المُرئسة العكسية (10 μ M)	1 μ l	0.5 μ M
دارئة مضاد لها كلوريد المغنتيوم (Thermo) MgCl ₂ buffer (10X)	5 μ l	1 X
نوكليوتيدات حرة (Thermo) dNTPs (10mM)	1 μ l	0.2 mM لكل نوكليوتيد
ماء مقطر معقم لإتمام الحجم إلى الحجم النهائي	39 μ l	
الحجم النهائي للتفاعل	50 μ l	

الجدول 3: برنامج التضخيم الحراري للتفاعل الدا PCR

الخطوة Step	درجة الحرارة Temperature	الوقت Time	عدد الدورات Number of cycles
فك التساقط البدائي Initial Denaturation	94 °C	5 min	1 دورة
Denaturation	94 °C	30 sec	35 دورة
	55 °C	30 sec	
	72 °C	2.40 min	
الاستطالة Extension			
الاستطالة الأخيرة Final Extension	72 °C	5 min	1 دورة

الرحلان الكهربائي باستخدام هلام الأغاروز :Agarose gel-electrophoresis
حضر هلام الأغاروز بتركيز 1.5% من خلال إذابة 1.5 g من مسحوق الأغاروز (GeneDireX®,USA) في 100 ml من دارئة TAE بتركيز X 0.5 وتسخين المزيج حتى الغليان والذوبان التام لمسحوق الأغاروز. ترك المزيج ليبرد في حرارة الغرفة لتصل حرارته إلى نحو 60 °C ثم صب في قالب الرحلان مع الانتباه لعدم تشكّل الفقاعات، أضيف الأثيريوم بروماید Ethidium Bromide بتركيز النهائي قدره 5 μ g/ μ l. وضع الهلام بعد التبلمر ضمن مكانه المخصص في جهاز الرحلان (Cosmo bio) وغمر بالدراة TAE بتركيز X 0.5. حضرت العينات عن طريق إضافة 1 ml من دارئة تحمل X 6 لكل 5 μ l من عينة DNA حملت في آبار الهلام، وحمل في أول بئر من الهلام باسم عياري بحسب العينة المرحلة إما DNA Ladder 100bp أو DNA Ladder 1 kb (Vivantis, Malaysia). شغل جهاز الرحلان على فولطية ثابتة وقدرها V 120 لمدة 25 دقيقة، وقرأت النتيجة باستخدام منبع الأشعة فوق البنفسجية الخاص بجهاز موثق الهلام.

تهيئة البكتيريا وتحويتها جينياً بـ الحامل pLEXY بهدف إثمار نسخ pLEXY: استبت البكتيريا E. coli top10 في 3ml من وسط زرع LB medium وحُضن هذا المستبت البكتيري في أنبوب 15 ml عقيم في الحاضنة الرجاجة بالدرجة 37 °C ليلة كاملة لمدة 12-16 ساعة. نُقل 1.5 ml من المستبت البكتيري وأُضيف إلى 50 ml من وسط زرع LB وحُضن بدرجة حرارة 37 °C في الحاضنة الرجاجة لمدة ساعة واحدة حتى تُصبح الكثافة الضوئية O.D_{600nm}=0.4 تقريباً. حضن المستبت البكتيري بعدها في الثلج لمدة 20 دقيقة بهدف إيقاف انقسامها وثبات العدد. ثُقل المستبت البكتيري بمُثقلة مُبردة

بالسرعة 4000 rpm لمدة 10 دقائق عند درجة حرارة 4 °C. تم التخلص من الطافي وعلق الراسب بـ 20 ml من محلول بارد من CaCl_2 بتركيز 0.1 M وحضن المزيج في الثلاج لمدة 30 دقيقة. ثُل المزيج بمُقللة مُبردة بسرعة 4000 rpm لمدة 10 دقائق عند درجة حرارة 4 °C رومي الطافي. عُلق الراسب بـ 5 ml من محلول الغليسرول 0.1M CaCl_2 15% البارد. وزعت الخلايا البكتيرية المهيئه للتحوير في أنابيب صغيرة 1.5 ml وحفظ الفائض عن الحاجة في 4 °C-80 لحين الاستخدام.

تحوير *E. coli top10* جينياً بـ الحامل pLEXY:

أضيف 60 ng بحجم 4 μl من البلاسميد pLEXY إلى أنبوب يحتوي 100 μl من *E. coli top10* المهيئه ووضع الأنبوب في الثلاج عند درجة حرارة 4 °C لمدة 30 دقيقة. حُضن الأنبوب بعدها مباشرة بدرجة حرارة 42 °C لمدة 45 ثانية. وضع الأنبوب في الثلاج عند درجة حرارة 4 °C لمدة دقيقتين. أضيف 1 ml من وسط الزرع LB إلى المزيج وحُضن في الحاضنة الراجحة بالدرجة 37 °C لمدة ساعة واحدة. ثُل المزيج بمُقللة مُبردة بسرعة 4000 rpm لمدة 7 دقائق عند درجة حرارة 4 °C رومي الطافي. فرش 60-40 μl من ناتج التحوير الجيني بعد تعليق الرسابة تدريجياً بـ 150 μl من وسط الزرع على طبق أغار LB agar تحتوي الأمبيسالين بتركيز نهائي 100 $\mu\text{g/ml}$. حُضن الطبق بعدها بشكل مقلوب في الحاضنة بدرجة الحرارة 37 °C لمدة ليلة كاملة (12-16) ساعة.

استخلاص الحامل pLEXY بالتحضير من نمط miniprep:

استخلاص الحامل pLEXY من بكتيريا *E. coli top10* المحورة جينياً بعد إكثاره فيها بطريقة التحضير miniprep باستعمال طاقم GF-1 plasmid DNA extraction kit من إنتاج شركة Vivantis. وذلك بعد استنباتات مستعمرة مفردة محورة بالبلاسميد pLEXY في أنبوب 15 ml يحتوي 3 ml من وسط زرع LB المضاف إليه 3 ml من الأمبيسالين بتركيز نهائي 100 $\mu\text{g/ml}$. وحُضن الأنبوب في الحاضنة الراجحة بالدرجة 37 °C ليلة كاملة لمدة 12-16 ساعة. ثُل بعدها المستببت البكتيري بالسرعة 10.000 x g لمدة 5 دقائق، وتم التخلص من السائل الطافي. أعيد تعليق الرسابة البكتيرية بحجم قدره 250 μl من دائرة التعليق S1 المضاف إليها 3 μl من إنزيم A RNase ذي التركيز (10mg/ml)، وتم مزجها جيداً بالماء، ثم يُنقل المزيج إلى أنبوب تثقيل 1.5 ml واتبع مراحل العمل بحسب تعليمات الشركة المصنعة للطاقم. تم التأكد من نجاح عملية الاستخلاص بالتحضير الصغير عن طريق الرحلان الكهربائي في هلام أغاروز 1%. تم قياس تركيز البلاسميد pLEXY بواسطة جهاز Nanodrop Spectrophotometer عند طول الموجة O.D_{260nm}.

قطع كل من الجين المرمزة للبروتين الدا IGF1 والبلاسميد pLEXY بأنزيمات التقيد:

المواد المستخدمة في هذه المرحلة:

- إنزيم التقيد I (Biolabs, USA) (20U/ μl) Neo I.
- إنزيم التقيد I (Biolabs, USA) (20U/ μl) Xba I.
- إنزيم التقيد I (Biolabs, USA) (20U/ μl) Kpn I.

ـ دائرة مناسبة لعمل أنزيمات القطع Cut Smart buffer 10X (Biolabs).

مزجت المواد الموضحة في (الجدول 4) في أنبوب 4 ml في أنبوب 1.5 ml ووضع الأنبوب في الحاضنة بدرجة حرارة 37 °C لمدة 15-30 دقيقة. أوقف تفاعل القطع بإضافة 10 μl من صباغ التحميل في الهلام Gel loading dye بتركيز 6 μl لكل 50 μl حجم تفاعل قطع نهائي. تم التأكّد من نجاح تفاعل القطع عن طريق الرحلان الكهربائي ضمن هلام أغاروز 1%. تم اجراء تفاعل قطع آخر مماثل تماماً مع استبدال الإنزيم Nco I بالإنزيم Xba I.

الجدول 4: المواد المستخدمة في تفاعل على القطع كل من الجين المرمزة للبروتين IGF1 والبلاسماid pLEXY بانزيم التقيد I Neo و Kpn I

أنبوب تفاعل قطع البلاسميد pLEXY		أنبوب تفاعل قطع IGF1-GFP		أنبوب تفاعل قطع IGF1		المواد Reagent
الترانزكيرز النهاية	الكميات	الترانزكيرز النهاية	الكميات	الترانزكيرز النهاية	الكميات	
—	—	—	—	900ng	15 μl	(60ng/μl) IGF1
2010ng	6.5μl	—	—	—	—	(310ng/μl) pLEXY
—	—	1125ng	15 μl	—	—	(75ng/μl) IGF1-GFP
20 U	1μl	20 U	1μl	20 U	1μl	أنزيم التقىد I (20U/μl) Nco I
20 U	1μl	20 U	1μl	20 U	1μl	أنزيم التقىد I (20U/μl) Kpn I
1X	5μl	1X	4 μl	1X	4 μl	دارئة Cut Smart buffer 10X
36.5 μl		19 μl		19 μl		ماء مقطر معقم لإتمام الحجم إلى الحجم النهائي
50 μl		40 μl		40 μl		الحجم النهائي للتفاعل

تنقية ناتج تفاعل PCR (الجين المرمز للبروتين اد IGF1) وتنقية ناتج قطع البلاسميد :pLEXY

تم إجراء رحلان تحضيري للبلاسميد على هلامة من الأغاروز بتركيز 1% وبتطبيق فولطية 100 ولمدة 45 min، وقطع مكان وجود الشدفة المطلوبة على الأغاروز باستخدام مشرط حاد ونظيف بعد تعريض الهلامة لأشعة UV. وزنت قطعة الأغاروز الحاوية على الشدفة المطلوبة وأضيف إليها كمية من دارئة حل الهلام التابعة لطاقم خاص بالتنقية من الهلام (Gel extraction kit, Invitrogen) بمعدل ثلاثة أضعاف الوزن الناتج عن القطع مقدراً بالميلي غرام وتوضع ضمن حمام مائي 50 °C لمدة 10 min مع تقليل الأنابيب الحاوي على المزيج كل ثلات دقائق، وعند اكتمال انحلال الهلام، تمت متابعة العمل وذلك وفق خطوات المنصوح بها من الشركة المصنعة. تم قياس تركيز البلاسميد الناتج وتحديد نقاوته باستعمال جهاز Nanodrop وحفظ بدرجة حرارة 20 °C.

ادخال الجين المرمزة للبروتين اد IGF1 والبروتين المدمج إلى البلاسميد pLEXY

المواد المستخدمة في هذه المرحلة:

-(Thermo) 10X T4 DNA Ligase (5 U/ μ l) مع دارئة مناسبة لعمله.

.(20.5ng/ μ l) Kpn I, Xba I المقاطع يأنزيمى التقىد (8475bp) pLEXY-

.(17.5ng/ μ l) Kpn I ، Nco I مقطوع بأنزيمي التقيد (8396bp) pLEXY-

- جين IGF1 مقطوعة بأنزيمي التقيد .(20ng/ μ l) Kpn I, Xba I

- جين IGF1 مقطوعة بأنزيمي التقيد Kpn I، Nco I .(22ng/ μ l)

- جين IGF1-GFP مقطوعة بأنزيمي التقيد Kpn I، Xba I

- جين IGF1-GFP مقطوعة بأنزيمي التقييد **Kpn I**، **Nco I**.

تم ادخال الجين المقطوعة إلى البلاسميد المقطوع في أربع تفاعلات ادخال ون

تم ادخال الجين المقطوعة إلى البلاسميد المقطوع في أربع تفاعلات ادخال وفق أنزيمات التقيد التي استعملت في تحضير البلاسميد والجين بهدف الحصول على أربع بنى. تم التوصل بعد تجارب عديدة هدفت إلى أمثلت شروط تفاعلات الربط إلى النسبة المولية 1 من البلاسميد إلى 20 من الجين، انطلاقاً من كمية ثابتة من البلاسميد في كل تفاعل وقدرها 50 ng . كما استعمل حجم نهائي لكل تفاعل قدره $20 \mu\text{l}$ و 5 وحدة أنزيم الربط. حُضنت التفاعلات بدرجة حرارة 22°C لمدة ساعة، ثم تم إيقاف التفاعل بدرجة حرارة

65 °C لمدة 15 min ويوضح الجدول 5 تفاعلات الرابط التي أجريت. بعد ذلك أجريت عملية التحويل البكتيري جينياً باتباع الخطوات المذكورة نفسها فيما سبق مع اختلاف بسيط هو التحويل بكمية قدرها 10 μl من تفاعل الرابط مع الكمية ذاتها من البكتيريا المهيئه، إضافة إلى ذلك حوت البكتيريا بعدة بني كشواهد سلبية (بلاسميد pLEXSY مقطوع + إنزيم الرابط) وإيجابية (بلاسميد pLEXSY غير مقطوع) بالإضافة إلى زرع بكتيريا *E. coli* TOP10 مهيئه وغير محورة للتأكد من عدم حدوث أي تلوث. لم يتم التطرق إلى هذه الشواهد في النتائج.

التحقق من نجاح التسليل باستعمال تقانة Colony PCR:

تعتمد هذه التقانة على إجراء عدة تفاعلات PCR لعدد من المستعمرات، يتم فيها تضخيم التسلسل الهدف المنشئ ضمن البلاسميد، وبذلك باستعمال المرئسات النوعية للتسلسل الهدف، ويتم فيها مسح مستعمرات مفردة كل منها على حدة، ثم يتم تعليق خلاياها ضمن 10 μl ماء مقطر وتمزج جيداً، ثم يؤخذ 5 μl منها وتوضع بشكل قطرة على طبق مرجعى ويتم ترقيم الأنوب والمستعمرة على الطبق المرجعي بالرقم نفسه، بعد ذلك يُحضن الطبق المرجعي في الدرجة 37 °C، ويضاف إلى 5 μl المتبقية المكونات الرئيسية لتفاعل PCR والمرئسات النوعية التي صُنحت بها الجين الهدف وفقاً للكميات المبينة في الجدول 5 للكشف عن التسلسل الهدف، ثم تُوضع ضمن جهاز المدور الحراري. وبعد انتهاء تفاعل PCR تم ترحيل العينات على هلامه من الأغاروز 1%.

الجدول 5: مكونات تفاعل PCR على المستعمرات والبرنامج الذي تم تطبيقه

الزمن	درجة الحرارة	البرنامج	التركيز/الحجم النهائي	المواد
5 min	95 °C	البداية	25 μl/1X	MasterMix 2X
30 s	95 °C	التمسخ Denaturation	0.5 μM	F/Primer 10 μM
30 s	63 °C	التشافع Annealing		R/Primer 10 μM
1 min	72 °C	الاستطالة Extension		معلق الخلايا المستعمرة
7 min	72 °C	نهاية الاستطالة	ماء مقطر معمق لتكميل الحجم إلى الحجم النهائي	
			50 μl	الحجم النهائي

قطع البني البلاسميدية بإنزيمات القطع:

تم عزل البني البلاسميدية من المستعمرات الإيجابية بإجراء تفاعلات التحضير من نمط Maxiprep (Thermo)، وهضمت بإنزيمات التقيد التي استعملت للتسلل وبنفس الشروط السابقة، ومن ثم أجري رحلان كهربائي للتفاعلات على هلامه من الأغاروز بتركيز 1%.

التحقق من صحة البني المأشوبة باستخدام تقانة السلسلة:

تم إجراء تفاعلات السلسلة للبني المأشوبة في شركة Macrogen الكورية باستعمال مرئسات البلاسميد المبينة في الجدول 6، وذلك باستعمال جهاز السلسلة (ABI 3730xl System)، وقرئت النتائج مع تسلسلات الجين الهدف المرجعية المتوفرة في البنوك الجينية وذلك باستعمال تطبيق الرصف Alignment Application لبرمجية المعلومات الحيوية BLAST بهدف التأكد من عدم وجود روابط توقف مبكرة أو من عدم انزياح إطار القراءة.

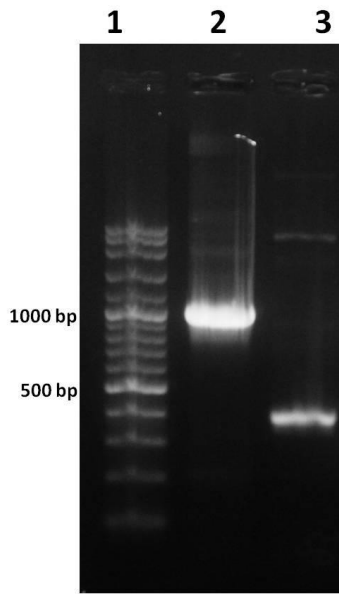
الجدول 6: أسماء والتسلسلات النكليوتيدية للمرئات الخاصة بالبلاسميد المستعملة في تفاعل السلسلة

اسم المرئية	التسلسل النكليوتيدي
P1442/ forward	'5-CCGACTGCAACAAGGTGTAG-3'
A264/ reverse	'5-CATCTATAGAGAAGTACACGTAAAAG-3'

النتائج:

تضخم التسلسل الهدف باستعمال التفاعل السلسلي للبوليميراز (PCR):

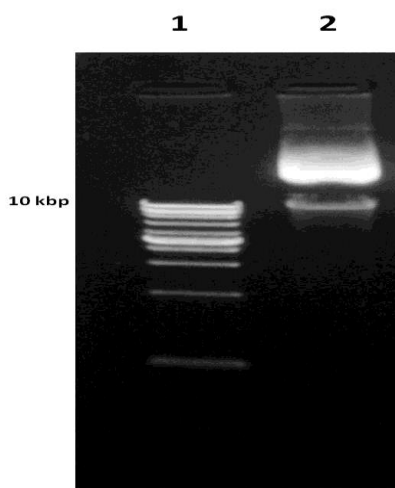
ُضخت الجين المُرمزة للبروتين **IGF1** البشري وتلك المُرمزة للبروتين المدمج **GFP-IGF1** من البنيتين البلاسميديتين **pRSET-TEV-IGF1** و **pRSET GFP-TEV-IGF1** على التوالي باستعمال **PCR** وشفع من المرئات النوعية التي تسمح بإدخال الجينتين ضمن الحامل البلاسميدي **pLexsy-neo2.1**, ورُحلت النواتج على هلامنة من الأغاروز ويظهر الشكل (1) الشدف المضخمة بالطول المطلوب.



الشكل 1: صورة هلامنة الرحلان الكهربائي لنواتج تضخم الجينتين الهدفتين المسار 1: سلم DNA المعياري. المسار 2: ناتج تضخم الجين المُرمزة للبروتين المدمج GFP-IGF1 بطول 1000bp تقريباً. المسار 3: الجين المُرمزة للبروتين IGF1 بطول 400bp تقريباً، حدّدت أطوال الشدف بالمقارنة مع عصائب السلم المعياري

اكتار البلاسميد pLexsy-neo2.1 باستعمال التحضير :miniprep

ُحُورت بكتيريا مُهيئه من السلالة **E. coli Top10** جينياً بوساطة البلاسميد **pLexsy-neo2.1** وبعد استبانتها ضمن وسط سائل **LB Broth** استخلص البلاسميد عن طريق التحضير الوسيط. حُسب تركيز البلاسميد الناتج فتبين أنه $200 \text{ ng}/\mu\text{l}$, ورُحلت كمية قدرها $4 \mu\text{l}$ على هلامنة من الأغاروز لتحقق من جودة الاستخلاص، ويظهر الشكل (2) عصائب الأشكال الثلاثة؛ الشكل الحلقي **circular** والشكل الملتف **coiled** والشكل عالي الالتفاف **supercoiled** من البلاسميد عند الأطوال المتوقعة مما يؤكد سلامة التحضير.

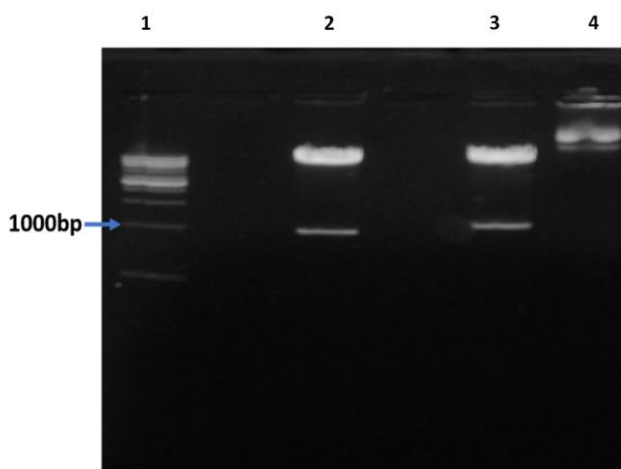


الشكل 2: صورة هلامة الرحلان الكهربائي لناتج التحضير الوسيط للبلاسميد plexsy-neo2.1

المسار 1: سلم DNA المعياري. المسار 2: الأشكال الثلاث للبلاسميد pLexsy-neo2.1 بعد التحضير الوسيط وهذه الأشكال هي الشكل الحلقي والشكل الملتوي والشكل عالي الالتفاف وذلك ابتداءً من أعلى الهلامة

قطع البلاسميد pLexsy-neo2.1 بأنزيمات القطع تحضيراً لعملية التأشيب:

قطع البلاسميد pLexsy-neo2.1 قطعاً مزدوجاً في تفاعلين منفصلين، الأول باستخدام أنزيمي التقيد **XbaI** والثاني باستخدام الأنزيمين **NcoI** و**KpnI**. تم التأكيد بالرحلان التحليلي من قطع كامل كمية البلاسميد الشكل (3)، ومن ثم أتبع العمل بإجراء رحلان تحضيري لتنقية الشدف التي تمثل البلاسميد بدون "الحشوة" stuffer من الهلام، الأولى بطول 8475 bp عند القطع باستعمال الأنزيمين **KpnI** و**XbaI** والثانية بطول 8396 bp عند القطع باستعمال الأنزيمين **NcoI** و**KpnI**. ويُعرّي الاختلاف بأطوال الشدف إلى المحافظة على التسلسل الإشاري الذي يجعل البروتين المنتج مفرزاً بعد عملية القطع أو التخلص منه. حسب تركيز الشدفتين باستخدام جهاز Nanodrop . 17.5 ng/μl والثانية 20 ng/μl.



الشكل 3: صورة هلامة الرحلان الكهربائي لناتج قطع بلاسميد pLexsy-neo2.1

المسار 1: سلم DNA المعياري. المسار 2: ناتج قطع البلاسميد pLexsy-neo2.1 بواسطة الأنزيمين **XbaI** و **KpnI** المسار (طول الشدفة المطلوبة 8475bp وطول الشدفة المتبقية من البلاسميد 994bp). المسار 3: ناتج قطع البلاسميد pLexsy-neo2.1 بواسطة الأنزيمين **NcoI** و **KpnI** (طول الشدفة المطلوبة 8396bp وطول الشدفة المتبقية من البلاسميد 1073bp). المسار 4: البلاسميد غير المهزوم رُحل كشاهد.

قطع ناتج تفاعل الدا PCR بأنزيمات التقيد المناسبة تحضيراً لعملية التأشيب:

قطع ناتج الدا PCR للجين المُرمزة للبروتين IGF1 بتفاعلين منفصلين الأول باستعمال الأنزيمين **XbaI** والثاني باستعمال الأنزيمين **NcoI** و**KpnI**، كذلك قطع ناتج الدا PCR للجين المُرمزة للبروتين المُدمج **IGF1-GFP** بتفاعلين منفصلين الأول باستعمال الأنزيمين **NcoI** و**KpnI** والثاني باستعمال الأنزيمين **XbaI** و**KpnI**، وبعدها تُقيّت الشدف من النكليوتيدات الحرة والشدف الصغيرة باستخدام طاقم **clean up** ومن ثم حُسبت التراكيز باستعمال جهاز **Nanodrop** فكانت على النحو التالي:

$$\text{IGF1 (KpnI-XbaI)} = 20 \text{ ng}/\mu\text{l} \quad \text{IGF1 (KpnI-NcoI)} = 22 \text{ ng}/\mu\text{l}$$

$$\text{IGF1-GFP (KpnI-XbaI)} = 23 \text{ ng}/\mu\text{l} \quad \text{IGF1-GFP (KpnI-NcoI)} = 29 \text{ ng}/\mu\text{l}$$

تحضير الحوامل المأشوبة:

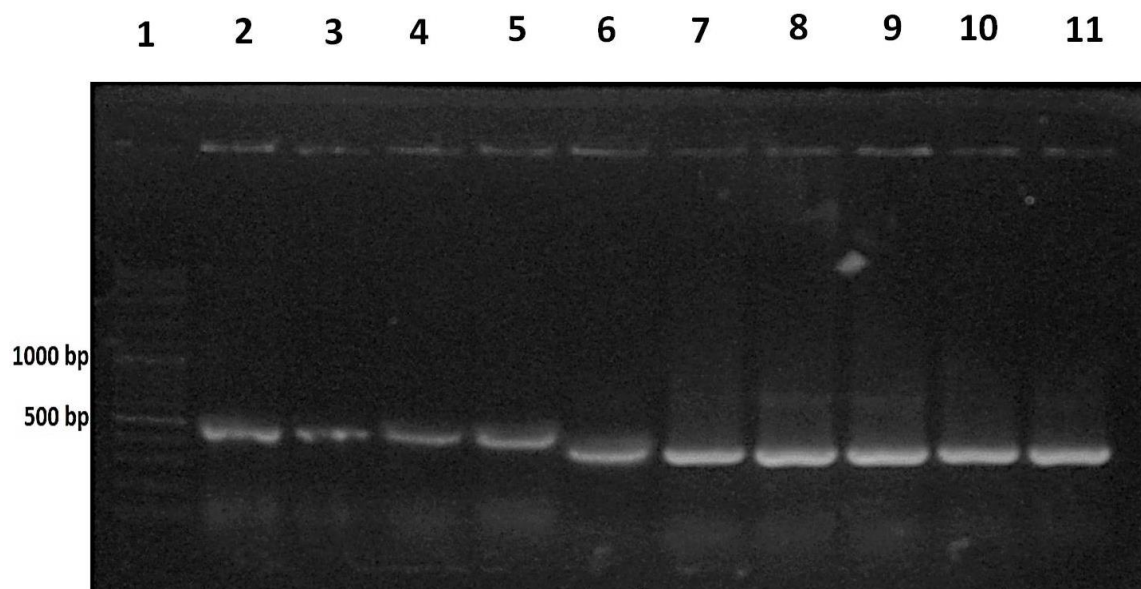
بعد الحصول على شكلين من الحوامل مقطوعتين بطريقتين مختلفتين، يسمح الشكل الأول الذي تم فيه الاحتفاظ بالسلسل الإشاري الخاص بالإفراز، بإنتاج البروتين مُفرزاً وبينما يسمح الشكل الثاني الذي أزيل منه السلسل السابق بإنتاج البروتين داخل الخلايا، وبعد الحصول على الجينتين **IGF1-GFP** و **IGF1** مهضومتين وجاهزتين للربط، تم الرابط بين هذه النواتج باستعمال أنزيم رابط لـ **DNA ligase DNA** للحصول على أربعة بنى وذلك على النحو التالي:

pLEXSY (KpnI-XbaI) 8475 bp + IGF1(KpnI-XbaI)	البنية الأولى
pLEXSY (KpnI-NcoI) 8396 bp + IGF1(KpnI-NcoI)	البنية الثانية
pLEXSY (KpnI-XbaI) 8475 bp + IGF1-GFP (KpnI-XbaI)	البنية الثالثة
pLEXSY (KpnI-NcoI) 8396 bp + IGF1-GFP (KpnI-NcoI)	البنية الرابعة

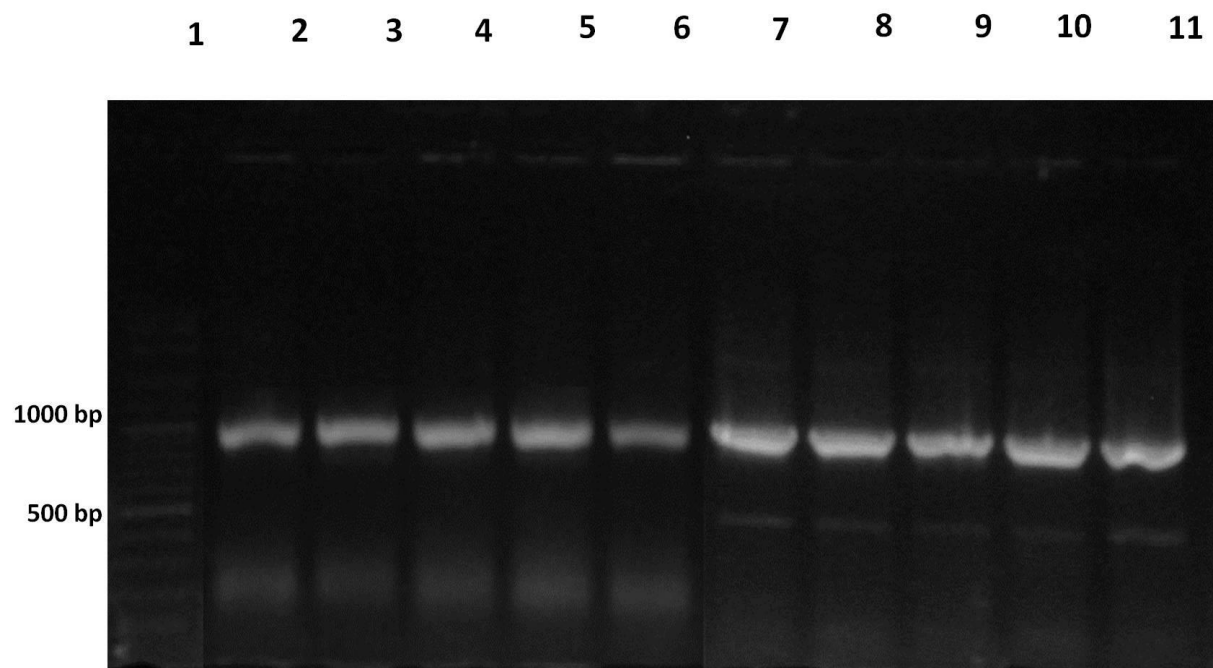
حورت بعدها خلايا سلالة من البكتيريا جينياً بنواتج الرابط وتميّت المستعمرات على أطباق **LB Agar** بوجود الأمبسلين، وبعد الحصول على المستعمرات، تم التحقق من نجاح حادثة الرابط والحصول على البنى المأشوبة المطلوبة وفق عدة خطوات تضمنت تفاعل PCR على الخلايا الجرثومية المأخوذة من المستعمرة مباشرة (**colony PCR**) والقطع باستعمال أنزيمات التقيد المناسبة ومن ثم سلسلة البنى المأشوبة.

اختبار PCR على المستعمرة: colony PCR

تم اختيار خمس مستعمرات لكل بنية وذلك بشكل عشوائي من الأطباق المزروعة، حيث علقت خلايا كل مستعمرة بكمية قدرها $10 \mu\text{l}$ من الماء الثنائي التقطر، أُنجز تفاعل PCR على $5 \mu\text{l}$ من المعلق الخلوي باستعمال مركبات تضخم الجين **IGF1** بالنسبة للبنيتين الحاويتين على هذه الجين وحدها وباستعمال مركبات تضخم التسلسل **IGF1-GFP** بالنسبة للبنيتين الحاويتين على جين **GFP**. بينما أعيد استباثات الحجم المتبقى ($5 \mu\text{l}$) على طبق مرجعي مع تحديد هوية كل مستعمرة. بعد ترحيل نواتج تفاعلات PCR، تبيّن أن جميع المستعمرات تقريباً قد أعطت عصائب بالطول المطلوب كما هو موضح في الشكل (4) وفي الشكل (5)، أي أن النتائج كانت إيجابية بالمجمل.



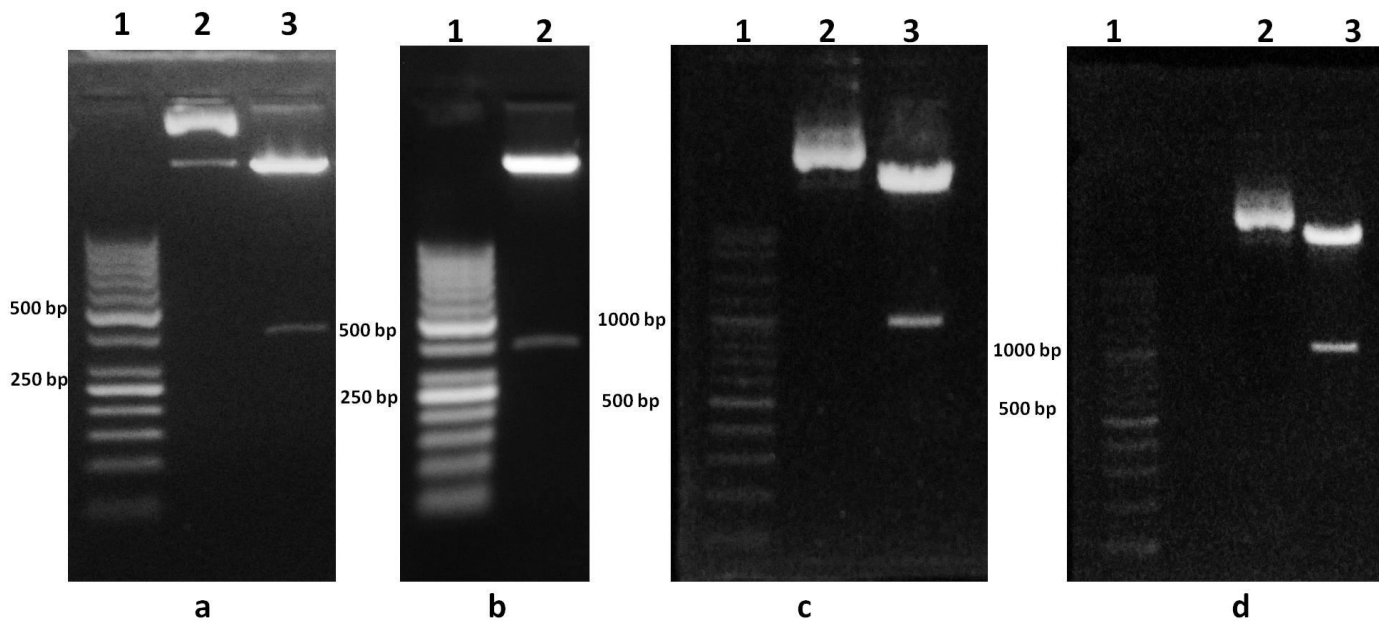
الشكل 4: صورة الرحلان الكهربائي لنتائج اختبار PCR على المستعمرة colony PCR أنجز على البنيتين الأولى والثانية المسار 1: سلم DNA المعياري. المسار من 2 إلى 6: نتائج PCR المنجز على المستعمرات الحاوية على البنية الأولى والمسار من 7 إلى 11: نتائج PCR المنجز على المستعمرات الحاوية على البنية الثانية. تظهر جميع المسارات عصابة بطول 400bp، وهي دليل احتواء البني على الجين IGF1.



الشكل 5: صورة الرحلان الكهربائي لنتائج اختبار PCR على المستعمرة colony PCR أنجز على البنيتين الثالثة والرابعة المسار 1: سلم DNA المعياري. المسار من 2 إلى 6: نتائج PCR المنجز على المستعمرات الحاوية على البنية الثالثة والمسار من 7 إلى 11: نتائج PCR المنجز على المستعمرات الحاوية على البنية الرابعة. تظهر جميع المسارات عصابة بطول 1000bp، وهي دليل احتواء البني على الجين IGF1-GFP.

التأكيد من الحصول على البني المؤشبة من خلال قطع بأنزيمات التقيد المناسبة:

ونظراً لأن نتائج اختبار PCR على المستعمرات تُعد أولية فقد أكدت من خلال قطع بالبنى الناتجة بإنزيمات التقيد المناسبة، إذ تم اختيار عدة مستعمرات من الطبق المرجعي لكل بنية من البنى الأربع لmonitoring العمل وذلك باستيتها على وسط سائل ومن ثم نقية البنى منها بوساطة التحضير واحتسبت التراكيز بوساطة جهاز Nanodrop. قطعت كمية قدرها 200 ng من كل بنية بنفس إنزيمات التقيد التي استعملت سابقاً لتحضير البنى، ورحلت النتائج على هلامة من الأغاروز، وقد أعطت بعض المستعمرات نتائج إيجابية وبعضها الآخر نتائج سلبية. يوضح الشكل (6) صورة الرحلان الكهربائي لأربع تفاعلات قطع تمثل النتائج الإيجابية فقط، وهي بنى قد أعطت بعد قطعها بالإنزيمات المناسبة عصابة بطول 400 bp تقريباً دليلاً احتواءها الجين IGF1 أو عصابة بطول 1000 bp دليلاً احتواءها الجين -IGF1، وقد تمت متابعة العمل مع المستعمرات الحاوية على هذه البنى.



الشكل 6: صور تمثيلية للرحلان الكهربائي التحليلي للنتائج الإيجابية لتفاعلات قطع البنى الأربع بذات الإنزيمات التي تم بواسطتها التنسيل a: البنية الأولى. المسار 1: سلم DNA المعياري. المسار 2: البنية غير المقطوعة. المسار 3: البنية المقطوعة بالإنزيمين KpnI و XbaI، وتظهر عصابة بطول 400bp تقريباً دليلاً إيجابية التفاعل. b: البنية الثانية. المسار 1: سلم DNA المعياري. المسار 2: البنية المهزومة بالإنزيمين Nco I و KpnI، وتظهر عصابة 400bp تقريباً دليلاً إيجابية التفاعل. c: البنية الثالثة. المسار 1: سلم DNA المعياري. المسار 2: البنية غير المقطوعة. المسار 3: البنية المقطوعة بطول 400bp تقريباً دليلاً إيجابية التفاعل. d: البنية الرابعة. المسار 1: سلم DNA المعياري. المسار 2: البنية غير المقطوعة بالإنزيمين KpnI و XbaI، وتظهر عصابة بطول 1000bp تقريباً دليلاً إيجابية التفاعل. المسار 3: البنية المهزومة بالإنزيمين Nco I و KpnI. وتظهر عصابة بطول 1000bp تقريباً دليلاً إيجابية التفاعل.

سلسلة البنى البلاسميدية المؤشبة:

بعد التأكيد من الحصول على البنى الأربع من خلال أطوال الشدف الناتجة عن القطع بالإنزيمات التقيد، تمت عملية سلسلة البنى الأربع إذ بينت النتائج تنسيل الجين بشكل صحيح وعدم وجود كودون توقف مبكر، كما أن مقارنة تسلسل البنى المنسولة مع التسلسلات المتوفرة بالبنوك المرجعية باستعمال تطبيق الرصف من خوارزميات برمجيات المعلوماتية الحيوية أثبتت خلو التسلسل من الطفرات.

المناقشة:

حضر في هذا العمل أربع بنى تحوي الجين المرمزة لبروتين **IGF1** البشري إما وحدها أو مدمجة مع الجين المرمزة للبروتين المتألق الأخضر، وتسمح هذه البنى بإنتاج البروتين الموافق باستعمال خلايا طفيلي الليشمانيا المزروعة في الزجاج بطريقتين مختلفتين. تضمن الطريقة الأولى إنتاج البروتين داخل الخلايا وبينما تضمن الطريقة الثانية إفرازه خارج الخلايا إلى وسط الزرع.

استعمل في هذا العمل حامل **pLEXSY** لتحضير البنى الأربع، وهو حامل ثانٍ الاستعمال بين البكتيريا والليشمانيا يحوي كل العناصر اللازمة لإكثاره ضمن البكتيريا، تم إكثاره بعد تحويل سلالة خاصة من *E. coli* جينياً وزرع الجراثيم المحورة على وسط صلب مغذي انقائي يسمح بنمو الخلايا الجرثومية المحورة نتيجة احتواء الحامل على الجين المقاومة للصاد الحيوي للأمباسيللين، بعدها تم تتنمية كميات كافية من الحامل بعد زرع المستعمرات على وسط سائل باستعمال طريقة التحضير الوسيط المعتمدة على إلغاء **DNA** للسليكا المشكلة لطور ساكن ضمن عمود كرومتوغرافية مكروي الحجم وذلك بهدف استعمالها في تجارب التنسيل. وبعد تسلل جين **IGF1** البشري ضمن الحامل، إما بمفردها أو مدمجة مع **GFP**، يمكن إعادة إكثاره من جديد كحامل مؤشب ضمن البكتيريا والحصول على كميات كبيرة منه لتجهيزه بشكل خطى وإدخاله ضمن الخلايا المضيفة بإحدى طرق التحويل الجيني. (Bastos et al., 2017; Taheri et al., 2016).

يتافق هذا الحامل مع استعمال أحد أنظمة إنتاج البروتينات ضمن حقيقيات النوى. طور هذا النظام حديثاً وذلك بالاعتماد على أحد أنواع وحييدات الخلية الحيوانية **Protozoa** من جنس الليشمانيا وهو النوع (*Leishmania tarentolae*) (Attarpour Yazdi et al., 2018).

ويتميز هذا النظام (LEXSY) بميزات كثيرة يجعله يتتفوق على معظم أنظمة الإنتاج المتوفرة حالياً من بدائيات ومن حقيقيات النوى، ومن أهم هذه الميزات الإنتاجية المرتقة للبروتين المؤشب بفضل النمو والتكاثر السريعين لهذا النوع من وحييدات الخلية في وسط مغلق. كما أنه يعد سهل وآمن من حيث المناولة **manipulation**، إذ يمكن زراعته بسهولة والتعامل معه بنفس طريقة التعامل مع سلالات البكتيريا غير الممرضة وذلك بالمستوى الأول **level-1** لقواعد الأمان المخبري (Attarpour Yazdi et al., 2018). كما يمتاز نظام إنتاج البروتينات المؤشبة ضمن خلايا الليشمانيا بميزات الإنتاج في الخلايا حقيقيات النوى الأخرى، وخاصةً خلايا الثدييات، من حيث الطي بالشكل الصحيح للبروتينات المنتجة وبالتالي الحصول على بنية ثلاثية أبعاد صحيحة، وبالخصوص إجراء التعديلات بعد الترجمة على هذه البروتينات. أثبتت الدراسات قدرة طفيليات الليشمانيا على إجراء مختلف أنماط تعديلات بعد الترجمة بشكل مشابه لحد بعيد لخلايا الثدييات، فهي تقوم بإضافة السكر إلى الزمر **N-glycosylation** من البروتينات وإضافة لواحق الربط أو التثبات إلى الغشاء السيتوبلازمي من نمط **GPI** من نمط **glypiation** (Glycosylphosphatidylinositol)، كما يمكن لخلايا الليشمانيا أن تتجزء تفاعلات الفسفرة **phosphorylation** والأستلة **acetylation**، ويمكنها أن تعالج البروتين بالحل **proteolytic processing** لشطر أجزاء منه إذا كان الحصول على الشكل الوظيفي من البروتين يتطلب إزالة هذه الأجزاء، أو بشكل معاكس يمكن أن تجمع عديدات البيبيتيد معاً لتشكيل بروتين وظيفي متعدد القسميات **oligomerisation**. ولعل إضافة السكر تقوم بها خلايا الليشمانيا بنفس الطريقة التي تتجزء خلايا الثدييات من أهم التعديلات بعد الترجمة التي تساعد في الطي الصحيح للبروتين وتحسن من استقراره وتومن له القيام بوظائفه، ففي كثير من الحالات يكون الشكل غير المطوى أو غير المضاف إليه السكر (المغلز **glucolysed**) بالشكل الصحيح غير وظيفي (Alhrak and Soukkarieh, 2023; de Oliveira et al., 2019).

من ميزات نظام LEXSY الحصول على سلالات من طفيلي الليشمانيا المستتبة ثابتة التعبير عن الجين الهدف كالجين موضوع البحث **IGF1** البشري، التمكن باستعمال البنى الأربع التي حضرت في هذا البحث من إدخال **IGF1** البشري وحده أو مدمجاً مع **GFP** ضمن جينوم الليشمانيا وفق مبدأ التأشيب المتماثل، الذي سيحدث داخل نوى الخلايا بعد تحويرها بالبنى المحضرية كل على حده (Basile and Peticca, 2009). يحدث التأشيب المتماثل بين الحوامل المؤشبة أي البنى المحضرية في هذا العمل نظراً لاحتواء الحامل على تسلسلات خاصة مماثلة لتسلسلات متوفرة في مناطق عديدة من جينوم الخلايا المضيفة (الليشمانيا) وتمثل هذه التسلسلات بالطرفين **5'** و**3'**

لتسلسل الجين المرمزة للوحدة 18s من **rRNA** (ريبوزومي)، والتي تتكرر بشكل ترادي في مواضع عدة من جينوم الطفيلي، مما سيسمح بدخول جين **IGF1** البشري في عدة أماكن من جينوم الخلايا المصพبة المحورة مما سيضمن الإنتاجية العالية لهذا البروتين مقارنة بأي نظام آخر، فضلاً عن أن وجود الجين في هذه الموضع الجينومية س يجعلها تحت سيطرة محضن رئيسي **ribosomal promoter** يعمل بوساطة أنزيم **RNA بوليمراز I**، الذي يتصرف بفعاليته الانتساحية العالية مقارنة بفعالية أنزيمات البوليمراز الأخرى المتوفرة ضمن نوى الخلايا المصصبة، تجدر الإشارة إلى أن الحامل نفسه بوجود محضن رئيسي إضافي صعداً قبل مكان تسليل الجين مما يزيد انتساح الجين الهدف بمعدل إضافي يقارب 50% (Bastos et al., 2017; Taheri et al., 2016). بالإضافة إلى كل ما سبق ذكره تعود الإنتاجية العالية لهذا النظام إلى معدل النمو العالمي للسائل المحورة في وسط الزرع، إذ يمكن الحصول على 40 جيل خلال أسبوع من الزراعة بمقابل 7 أجيال فقط من خلايا الثدييات خلال نفس المدة (Basile and Peticca, 2009).

يُدخل حامل **pLEXSY** واسماء انتقاء في جينوم الليشمانيا وهي عبارة عن جين مقاومة لعقار **drug** يضاف لوسط الزرع مما يسمح بنمو وإكثار السائل المحورة جينياً بينما تموت الخلايا غير المحورة. يحوي الحامل تسلسل إشارة يجعل البروتين الناتج مفرزاً، وبحسب استراتيجية التسليل ضمنه يمكن للبروتين الهدف أن ينتج إما بشكل داخل خلوي **intracellular** وإما بشكل مفرز **secreted** وهذا ما قمنا بالاستقدادة منه في هذا العمل إذ حضرنا شكلين من البنى المؤشبة، يضمن كل شكل إنتاج البروتين إما ضمن الخلايا المصصبة وإما مفرز خارجها، كما أن هذا الحامل سيضيف إلى البنى الأربع تسلسل سداسي الهيستيدين مما سيسهل عملية تفعية بروتين **IGF1** البشري بوساطة كرومتوغرافيا الإلقة المعدنية (Bastos et al., 2017; Taheri et al., 2016).

استعمل هذا النظام في السنوات الأخيرة لإنتاج العديد من البروتينات المؤشبة التي أدى إنتاجها في الأنظمة القديمة مشاكل عديدة تراوحت بين الإنتاجية المنخفضة لفقدان الفعالية، بسبب الطي غير الصحيح أو لغياب تعديلات بعد الترجمة، ولغيرها من المشكلات. من أمثلة البروتينات التي أنتجت بنجاح باستعمال نظام **LEXSY** البروتينات العشاشة (Gonzalez-Lobato et al., 2016) واللقالات التي كانت تنتج تقليدياً في خلايا الحشرات والثدييات وذلك بهدف خفض ثمنها عن طريق خفض كلفة إنتاجها (Bolhassani et al., 2015; Grzyb et al., 2016)، والبروتينات العلاجية مثل: مفعول البلاسمينوجين النسيجي البشري **human tissue plasminogen activator** المستعمل لعلاج الخثار (Soleimani et al., 2007)، و**Darbepoetin Alfa** المستعمل لعلاج فقر الدم (Kianmehr et al., 2016)، بينما لا توجد أي دراسة سابقة تناولت إنتاج بروتين **IGF1** البشري أو غيره من البروتينات منخفضة الوزن الجزيئي ضمن هذا النظام، مما سيجعل من الممكن استعمال نظام **LEXSY** في محاولة إنتاج بروتين **IGF1** البشري تحدياً كبيراً ولكنه واعد بحل المشاكل الحالية التي تحيط بإنتاج هذا البروتين عالمياً ولعل أهمها القدرة الإنتاجية المنخفضة للشكل الوظيفي الفعال التي تتصف بها الأنظمة (على رأسها بدائيات النوى وخلايا الثدييات) المستعملة حالياً لإنتاجه.

المراجع:

1. Alhrak, F., Soukkarieh, C., 2023. Producing a local strain of genetic modified *Leishmania tropica* parasites expressing GFP protein, Damascus University Journal for the Basic Sciences, p. 11.
2. Attarpour Yazdi, M.M., Tofighi, N., Rajaei, T., Ghahremanlou, M., Adeli, A., Azam, B., Azizi, M., Davoudi, N., 2018. Enhancement of Expression Level of Modified t-PA (TNKase) in *Leishmania tarentolae* by Induction System. Iranian biomedical journal.
3. Basile, G., Peticca, M., 2009. Recombinant protein expression in *Leishmania tarentolae*. Molecular biotechnology 43, 273-278.
4. Bastos, M.S., Souza, L.A., Onofre, T.S., Silva, A.J., Almeida, M.R., Bressan, G.C., Fietto, J.L., 2017. Achievement of constitutive fluorescent pLEXSY-egfp *Leishmania braziliensis* and its application as an alternative method for drug screening in vitro. Memorias do Instituto Oswaldo Cruz 112, 155-159.
5. Bolhassani, A., Shirbaghaee, Z., Agi, E., Davoudi, N., 2015. VLP production in *Leishmania tarentolae*: A novel expression system for purification and assembly of HPV16 L1. Protein expression and purification 116, 7-11.
6. Carel, J.C., Chaussain, J.L., Chatelain, P., Savage, M.O., 1996. Growth hormone insensitivity syndrome (Laron syndrome): main characteristics and effects of IGF1 treatment. Diabetes & metabolism 22, 251-256.
7. Chesik, D., Wilczak, N., De Keyser, J., 2007. The insulin-like growth factor system in multiple sclerosis. International review of neurobiology 79, 203-226.
8. Consortium, S.G., 2008. Protein production and purification. Nature methods 5, 135-146.
9. de Oliveira, T.A., da Silva, W., da Rocha Torres, N., de Moraes, J.V.B., Senra, R.L., de Oliveira Mendes, T.A., Júnior, A.S., Bressan, G.C., Fietto, J.L.R., 2019. Application of the LEXSY *Leishmania tarentolae* system as a recombinant protein expression platform: A review. Process Biochemistry 87, 164-173.
10. Gonzalez-Lobato, L., Chaptal, V., Molle, J., Falson, P., 2016. *Leishmania tarentolae* as a Promising Tool for Expressing Polytopic and Multi-Transmembrane Spans Eukaryotic Membrane Proteins: The Case of the ABC Pump ABCG6. Methods in molecular biology 1432, 119-131.
11. Grzyb, K., Czarnota, A., Brzozowska, A., Cieslik, A., Rabalski, L., Tyborowska, J., Bienkowska-Szewczyk, K., 2016. Immunogenicity and functional characterization of *Leishmania*-derived hepatitis C virus envelope glycoprotein complex. Scientific reports 6, 30627.
12. Joly, J.C., Leung, W.S., Swartz, J.R., 1998. Overexpression of *Escherichia coli* oxidoreductases increases recombinant insulin-like growth factor-I accumulation. Proceedings of the National Academy of Sciences of the United States of America 95, 2773-2777.
13. Kianmehr, A., Mahrooz, A., Oladnabi, M., Safdari, Y., Ansari, J., Veisi, K., Evazalipour, M., Shahbazmohammadi, H., Omidinia, E., 2016. Purification and Characterization of Recombinant Darbepoetin Alfa from *Leishmania tarentolae*. Molecular biotechnology 58, 566-572.
14. Luginina, A., Maslov, I., Khorn, P., Volkov, O., Khnykin, A., Kuzmichev, P., Shevtsov, M., Belousov, A., Kapranov, I., Dashevskii, D., 2023. Functional GPCR expression in eukaryotic LEXSY system. Journal of Molecular Biology 435, 168310.
15. Niimi, T., 2012. Recombinant protein production in the eukaryotic protozoan parasite *Leishmania tarentolae*: a review. Methods in molecular biology 824, 307-315.
16. Samuelsson, E., Moks, T., Uhlen, M., Nilsson, B., 1994. Enhanced in vitro refolding of insulin-like growth factor I using a solubilizing fusion partner. Biochemistry 33, 4207-4211.
17. Soleimani, M., Mahboudi, F., Davoudi, N., Amanzadeh, A., Azizi, M., Adeli, A., Rastegar, H., Barkhordari, F., Mohajer-Maghari, B., 2007. Expression of human tissue plasminogen activator in the trypanosomatid protozoan *Leishmania tarentolae*. Biotechnology and applied biochemistry 48, 55-61.
18. Souza, L.Â.d., Onofre, T.S., Silva, A., Almeida, M.R.d., Bressan, G.C., Fietto, J.L.R., 2017. Achievement of constitutive fluorescent pLEXSY-egfp *Leishmania braziliensis* and its application as an alternative method for drug screening in vitro. Memórias do Instituto Oswaldo Cruz 112, 155-159.
19. Taheri, T., Seyed, N., Mizbani, A., Rafati, S., 2016. *Leishmania*-based expression systems. Applied microbiology and biotechnology 100, 7377-7385.
20. Zapf, J., Froesch, E., 1986. Insulin-like growth factors/somatomedins: structure, secretion, biological actions and physiological role. Hormone research 24, 121-130.